

Eingabe: Farbmimetrisches Reflexions-System NCS11

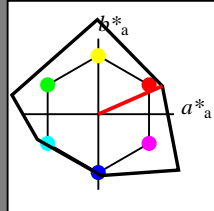
für Buntton $h^* = lab \cdot h = 24/360 = 0.066$

LAB*LCH, LAB*NCH

D65: Buntton R

LCH*Ma: 47 92 24

olv*Ma: 1.0 0.0 0.0



NCS11; adaptierte CIELAB-Daten

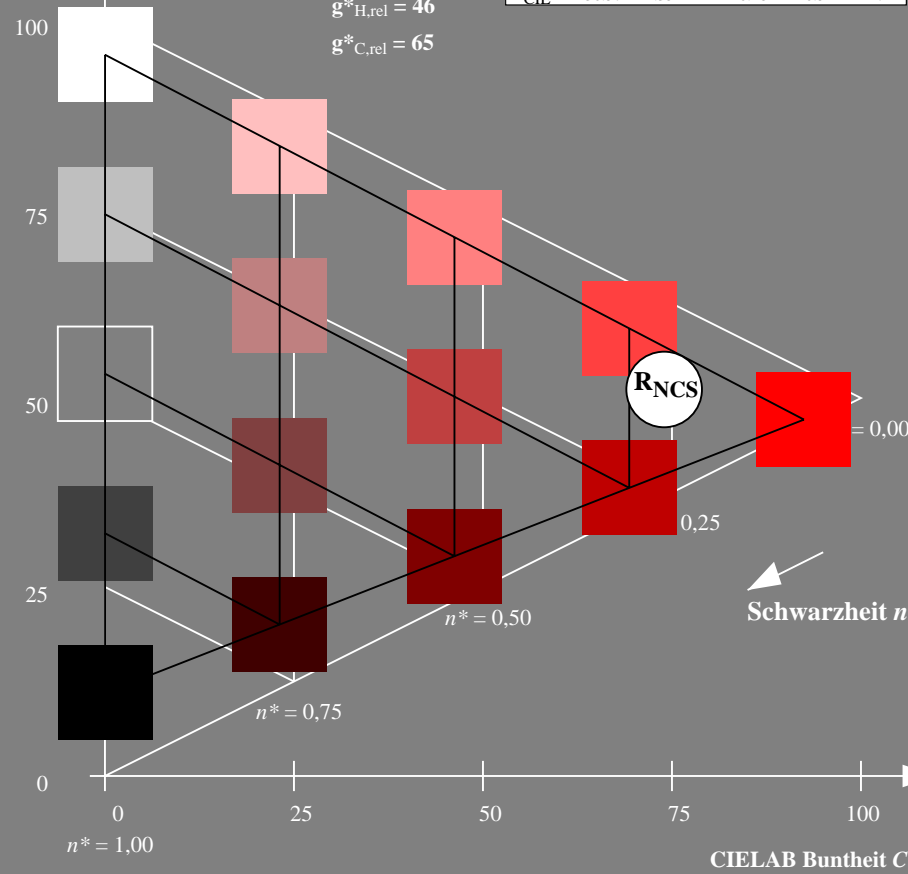
	$L^*=L^*_a$	a^*_a	b^*_a	$C^*_{ab,a}$	$h^*_{ab,a}$
R _{Ma}	47.15	84.64	37.25	92.48	24
J _{Ma}	91.37	-1.27	125.03	125.03	91
G _{Ma}	63.07	-114.28	25.35	117.06	167
G50B _{Ma}	59.47	-80.6	-33.45	87.28	203
B _{Ma}	49.01	3.65	-81.19	81.28	273
B50R _{Ma}	44.06	106.09	-73.93	129.32	325
N _{Ma}	10.99	0.0	0.0	0.0	0
W _{Ma}	95.41	0.0	0.0	0.0	0
R _{CIE}	39.92	58.69	27.98	65.01	25
J _{CIE}	81.26	-2.9	71.56	71.62	92
G _{CIE}	52.23	-42.45	13.59	44.59	162
B _{CIE}	30.57	1.35	-46.48	46.51	272

CIELAB-Helligkeit L^*

%Umfang

 $u^*_{rel} = 149$

%Regularität

 $g^*_{H,rel} = 46$ $g^*_{C,rel} = 65$ 

TG390-7, 5 stufige Reihen für konstanten CIELAB Buntton 24/360 = 0.066 (links)

Ausgabe: Farbmimetrisches Reflexions-System NCS11

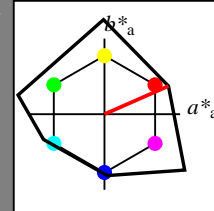
für Buntton $h^* = lab \cdot h = 24/360 = 0.066$

LAB*LCH, LAB*NCH

D65: Buntton R

LCH*Ma: 47 92 24

olv*Ma: 1.0 0.0 0.0



NCS11; adaptierte CIELAB-Daten

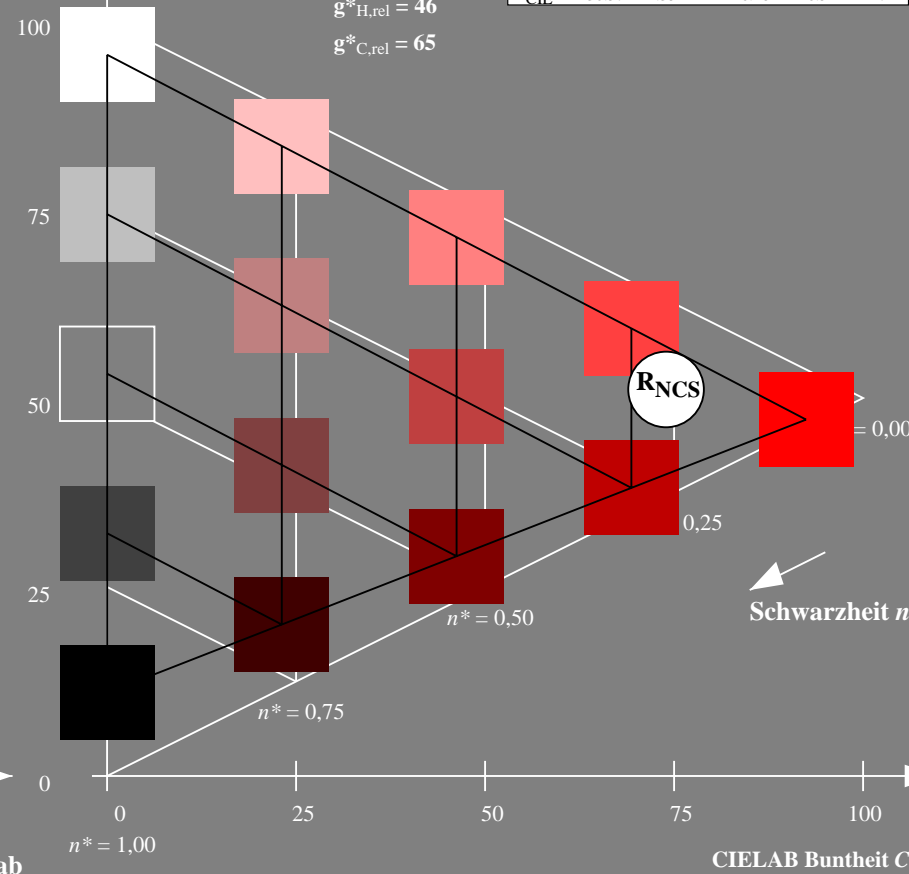
	$L^*=L^*_a$	a^*_a	b^*_a	$C^*_{ab,a}$	$h^*_{ab,a}$
R _{Ma}	47.15	84.64	37.25	92.48	24
J _{Ma}	91.37	-1.27	125.03	125.03	91
G _{Ma}	63.07	-114.28	25.35	117.06	167
G50B _{Ma}	59.47	-80.6	-33.45	87.28	203
B _{Ma}	49.01	3.65	-81.19	81.28	273
B50R _{Ma}	44.06	106.09	-73.93	129.32	325
N _{Ma}	10.99	0.0	0.0	0.0	0
W _{Ma}	95.41	0.0	0.0	0.0	0
R _{CIE}	39.92	58.69	27.98	65.01	25
J _{CIE}	81.26	-2.9	71.56	71.62	92
G _{CIE}	52.23	-42.45	13.59	44.59	162
B _{CIE}	30.57	1.35	-46.48	46.51	272

CIELAB-Helligkeit L^*

%Umfang

 $u^*_{rel} = 149$

%Regularität

 $g^*_{H,rel} = 46$ $g^*_{C,rel} = 65$ 

5 stufige Reihen für konstanten CIELAB Buntton 24/360 = 0.066 (rechts)

BAM-Prüfvorlage TG39; Farbmimetrik-Systeme ORS18 & ORS18 input: olv* setrgbcolor

D65: Koordinaten-Systeme von 5stufigen Farbreihen für 10 Buntton input: Startup (S) data dependend

Eingabe: Farbmétrisches Reflexions-System NCS11

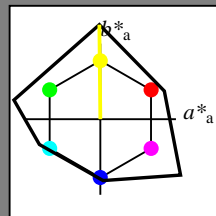
für Buntton $h^* = lab \cdot h = 91/360 = 0.252$

LAB*LCH, LAB*NCH

D65: Buntton J

LCH*Ma: 91 125 91

olv*Ma: 1.0 1.0 0.0



NCS11; adaptierte CIELAB-Daten

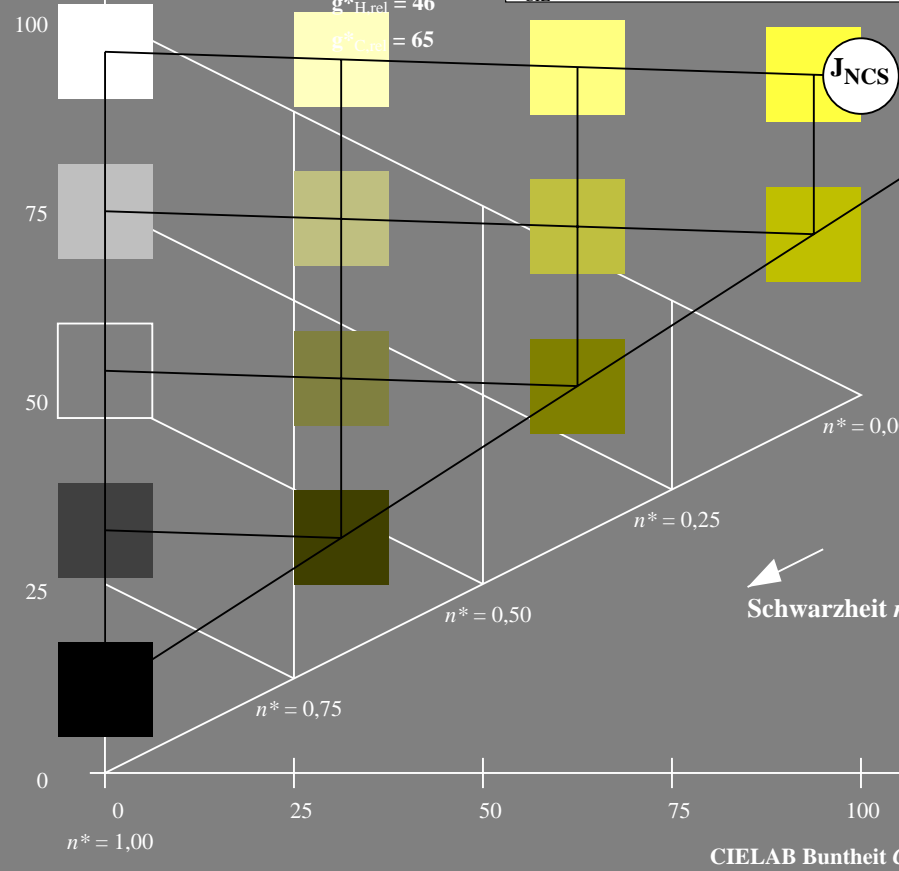
	$L^*=L^*_a$	a^*_a	b^*_a	$C^*_{ab,a}$	$h^*_{ab,a}$
R _{Ma}	47.15	84.64	37.25	92.48	24
J _{Ma}	91.37	-1.27	125.03	125.03	91
G _{Ma}	63.07	-114.28	25.35	117.06	167
G50B _{Ma}	59.47	-80.6	-33.45	87.28	203
B _{Ma}	49.01	3.65	-81.19	81.28	273
B50R _{Ma}	44.06	106.09	-73.93	129.32	325
N _{Ma}	10.99	0.0	0.0	0.0	0
W _{Ma}	95.41	0.0	0.0	0.0	0
R _{CIE}	39.92	58.69	27.98	65.01	25
J _{CIE}	81.26	-2.9	71.56	71.62	92
G _{CIE}	52.23	-42.45	13.59	44.59	162
B _{CIE}	30.57	1.35	-46.48	46.51	272

CIELAB-Helligkeit L^*

%Umfang

 $u^*_{rel} = 149$

%Regularität

 $g^*_{H,rel} = 46$ $g^*_{C,rel} = 65$ 

TG390-7, 5 stufige Reihen für konstanten CIELAB Buntton 91/360 = 0.252 (links)

BAM-Prüfvorlage TG39; Farbmétrik-Systeme ORS18 & ORS18 input: olv* setrgbcolor

D65: Koordinaten-Systeme von 5stufigen Farbreihen für 10 Bunttoninput: Startup (S) data dependend

Ausgabe: Farbmétrisches Reflexions-System NCS11

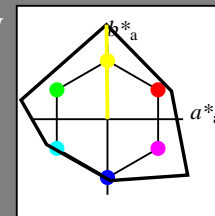
für Buntton $h^* = lab \cdot h = 91/360 = 0.252$

LAB*LCH, LAB*NCH

D65: Buntton J

LCH*Ma: 91 125 91

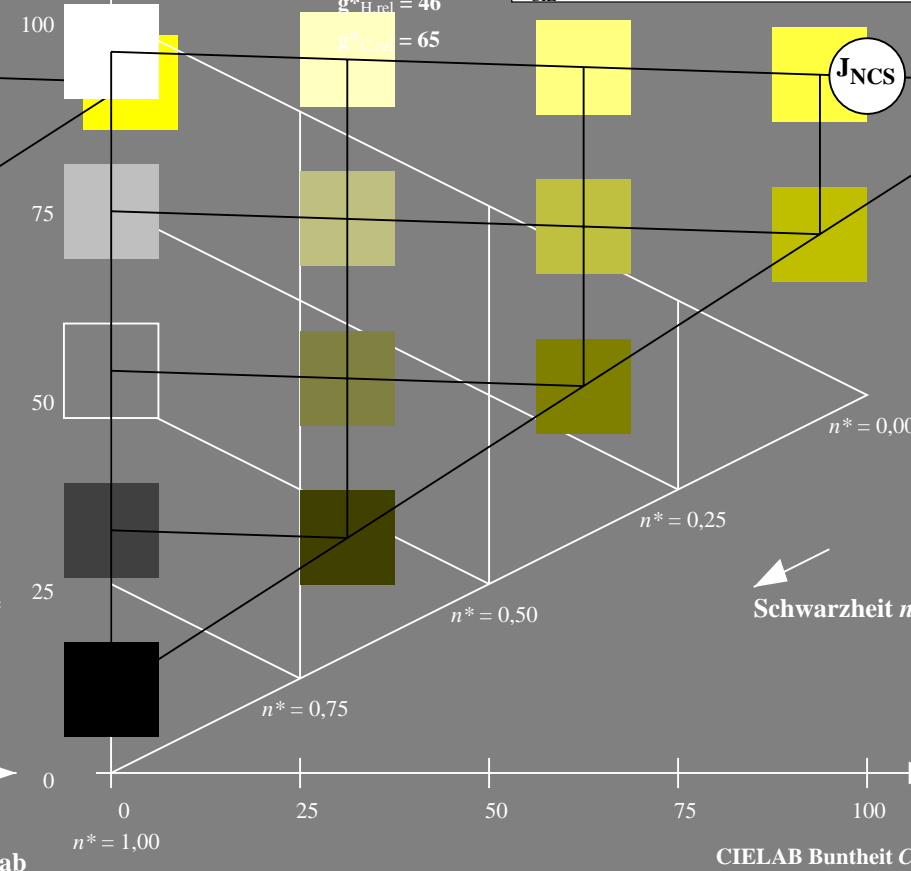
olv*Ma: 1.0 1.0 0.0

CIELAB-Helligkeit L^*

%Umfang

 $u^*_{rel} = 149$

%Regularität

 $g^*_{H,rel} = 46$ $g^*_{C,rel} = 65$ 

5 stufige Reihen für konstanten CIELAB Buntton 91/360 = 0.252 (rechts)

Eingabe: Farbmétrisches Reflexions-System NCS11

für Buntton $h^* = lab \cdot h = 167/360 = 0.465$

LAB*LCH, LAB*NCH

D65: Buntton G

LCH*Ma: 63 117 167

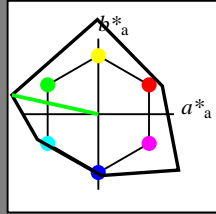
olv*Ma: 0.0 1.0 0.0

CIELAB-Helligkeit L^*

%Umfang

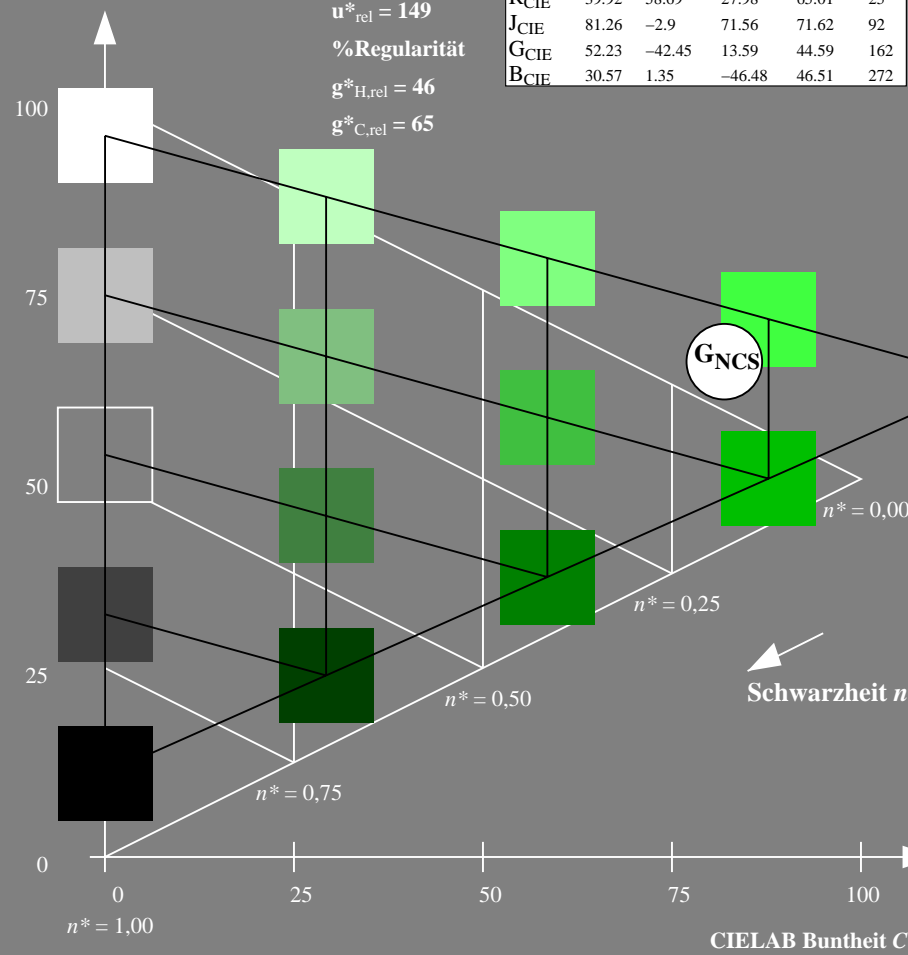
 $u^*_{rel} = 149$

%Regularität

 $g^*_{H,rel} = 46$ $g^*_{C,rel} = 65$ 

NCS11; adaptierte CIELAB-Daten

	$L^*=L^*_a$	a^*_a	b^*_a	$C^*_{ab,a}$	$h^*_{ab,a}$
R _{Ma}	47.15	84.64	37.25	92.48	24
J _{Ma}	91.37	-1.27	125.03	125.03	91
G _{Ma}	63.07	-114.28	25.35	117.06	167
G50B _{Ma}	59.47	-80.6	-33.45	87.28	203
B _{Ma}	49.01	3.65	-81.19	81.28	273
B50R _{Ma}	44.06	106.09	-73.93	129.32	325
N _{Ma}	10.99	0.0	0.0	0.0	0
W _{Ma}	95.41	0.0	0.0	0.0	0
R _{CIE}	39.92	58.69	27.98	65.01	25
J _{CIE}	81.26	-2.9	71.56	71.62	92
G _{CIE}	52.23	-42.45	13.59	44.59	162
B _{CIE}	30.57	1.35	-46.48	46.51	272



TG390-7, 5 stufige Reihen für konstanten CIELAB Buntton 167/360 = 0.465 (links)

BAM-Prüfvorlage TG39; Farbmétrik-Systeme ORS18 & ORS18 input: olv* setrgbcolor

D65: Koordinaten-Systeme von 5stufigen Farbreihen für 10 Bunttoninput: Startup (S) data dependend

Ausgabe: Farbmétrisches Reflexions-System NCS11

für Buntton $h^* = lab \cdot h = 167/360 = 0.465$

LAB*LCH, LAB*NCH

D65: Buntton G

LCH*Ma: 63 117 167

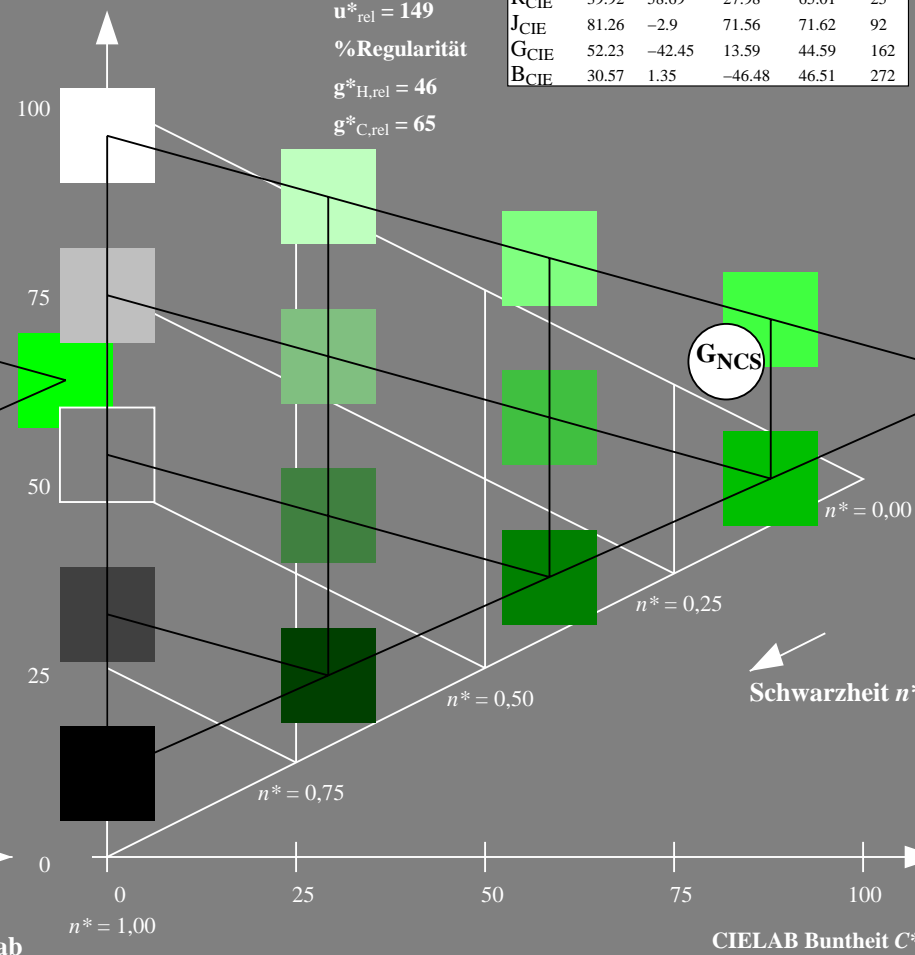
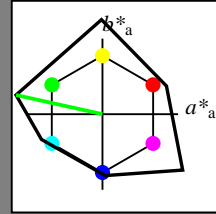
olv*Ma: 0.0 1.0 0.0

CIELAB-Helligkeit L^*

%Umfang

 $u^*_{rel} = 149$

%Regularität

 $g^*_{H,rel} = 46$ $g^*_{C,rel} = 65$ 

5 stufige Reihen für konstanten CIELAB Buntton 167/360 = 0.465 (rechts)

Eingabe: Farbmatisches Reflexions-System NCS11

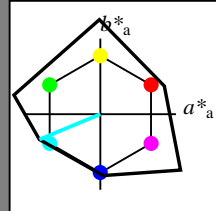
für Buntton $h^* = lab \cdot h = 203/360 = 0.563$

LAB*LCH, LAB*NCH

D65: Buntton G50B

LCH*Ma: 59 87 203

olv*Ma: 0.0 1.0 1.0



NCS11; adaptierte CIELAB-Daten

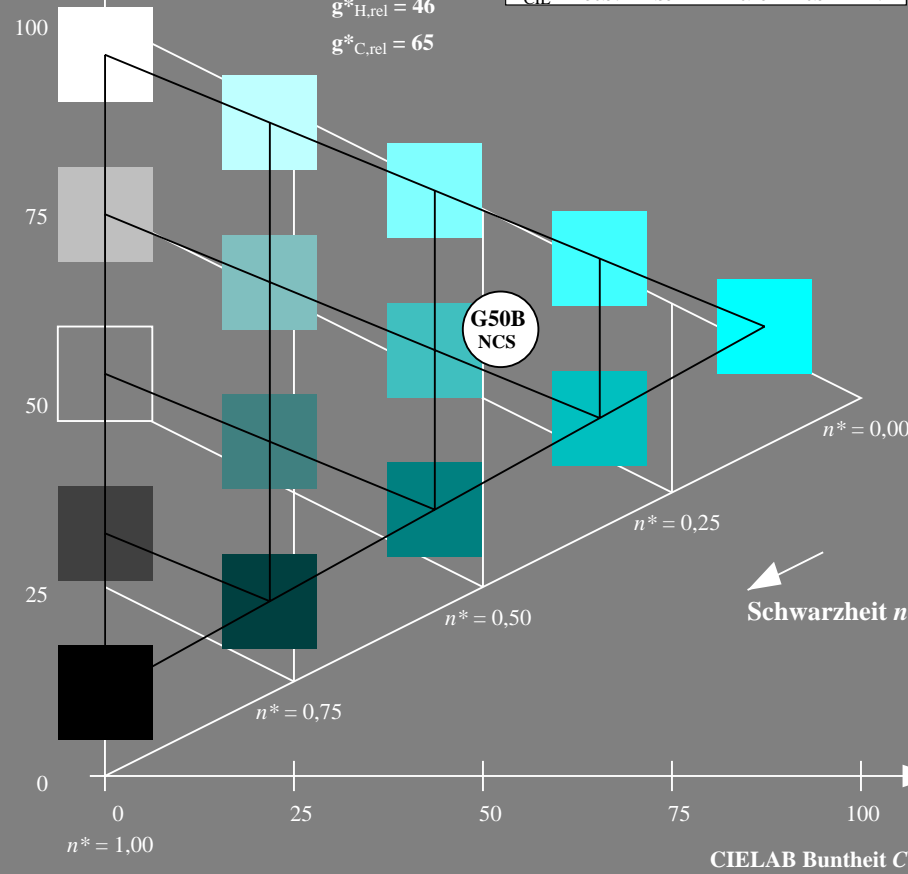
	$L^*=L_a^*$	a_a^*	b_a^*	$C_{ab,a}^*$	$h_{ab,a}^*$
R _{Ma}	47.15	84.64	37.25	92.48	24
J _{Ma}	91.37	-1.27	125.03	125.03	91
G _{Ma}	63.07	-114.28	25.35	117.06	167
G50B _{Ma}	59.47	-80.6	-33.45	87.28	203
B _{Ma}	49.01	3.65	-81.19	81.28	273
B50R _{Ma}	44.06	106.09	-73.93	129.32	325
N _{Ma}	10.99	0.0	0.0	0.0	0
W _{Ma}	95.41	0.0	0.0	0.0	0
R _{CIE}	39.92	58.69	27.98	65.01	25
J _{CIE}	81.26	-2.9	71.56	71.62	92
G _{CIE}	52.23	-42.45	13.59	44.59	162
B _{CIE}	30.57	1.35	-46.48	46.51	272

CIELAB-Helligkeit L^*

%Umfang

 $u_{rel}^* = 149$

%Regularität

 $g_{H,rel}^* = 46$ $g_{C,rel}^* = 65$ 

TG390-7, 5 stufige Reihen für konstanten CIELAB Buntton 203/360 = 0.563 (links)

Ausgabe: Farbmatisches Reflexions-System NCS11

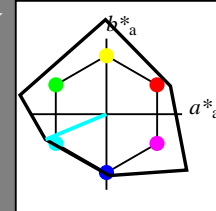
für Buntton $h^* = lab \cdot h = 203/360 = 0.563$

LAB*LCH, LAB*NCH

D65: Buntton G50B

LCH*Ma: 59 87 203

olv*Ma: 0.0 1.0 1.0



NCS11; adaptierte CIELAB-Daten

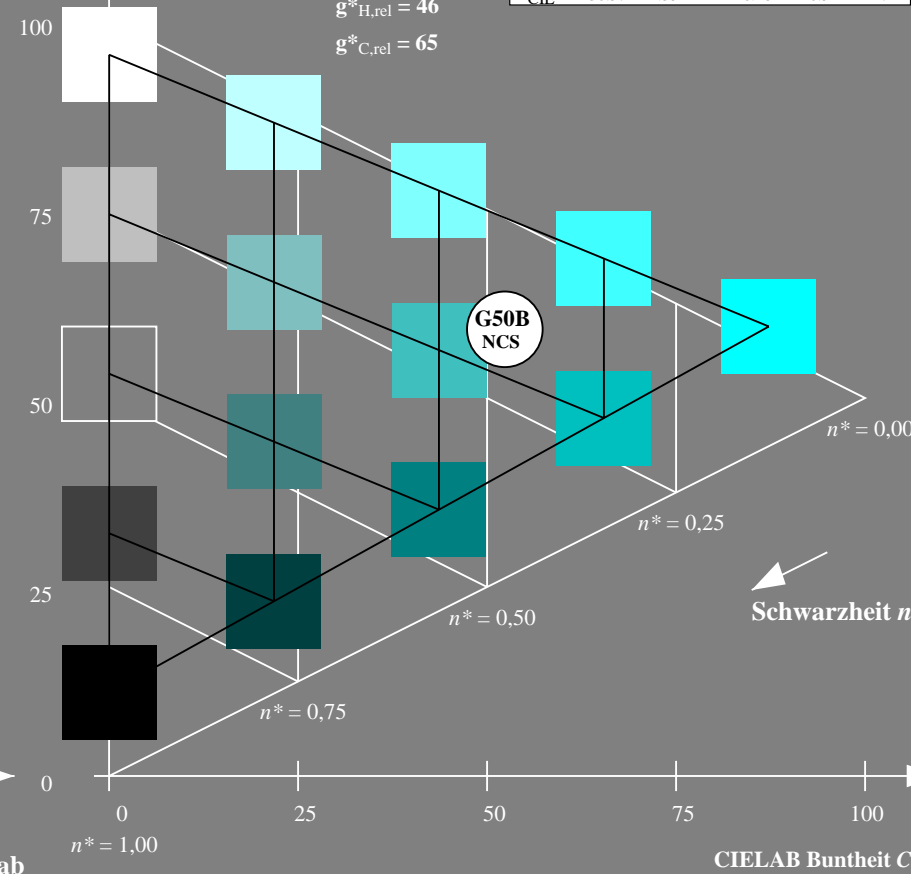
	$L^*=L_a^*$	a_a^*	b_a^*	$C_{ab,a}^*$	$h_{ab,a}^*$
R _{Ma}	47.15	84.64	37.25	92.48	24
J _{Ma}	91.37	-1.27	125.03	125.03	91
G _{Ma}	63.07	-114.28	25.35	117.06	167
G50B _{Ma}	59.47	-80.6	-33.45	87.28	203
B _{Ma}	49.01	3.65	-81.19	81.28	273
B50R _{Ma}	44.06	106.09	-73.93	129.32	325
N _{Ma}	10.99	0.0	0.0	0.0	0
W _{Ma}	95.41	0.0	0.0	0.0	0
R _{CIE}	39.92	58.69	27.98	65.01	25
J _{CIE}	81.26	-2.9	71.56	71.62	92
G _{CIE}	52.23	-42.45	13.59	44.59	162
B _{CIE}	30.57	1.35	-46.48	46.51	272

CIELAB-Helligkeit L^*

%Umfang

 $u_{rel}^* = 149$

%Regularität

 $g_{H,rel}^* = 46$ $g_{C,rel}^* = 65$ 

5 stufige Reihen für konstanten CIELAB Buntton 203/360 = 0.563 (rechts)

BAM-Prüfvorlage TG39; Farbmeter-Systeme ORS18 & ORS18 input: olv* setrgbcolor

D65: Koordinaten-Systeme von 5stufigen Farbreihen für 10 Bunttoninput: Startup (S) data dependend

Eingabe: Farbmimetrisches Reflexions-System NCS11

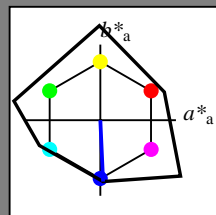
für Buntton $h^* = lab \cdot h = 273/360 = 0.757$

LAB*LCH, LAB*NCH

D65: Buntton B

LCH*Ma: 49 81 273

olv*Ma: 0.0 0.0 1.0



NCS11; adaptierte CIELAB-Daten

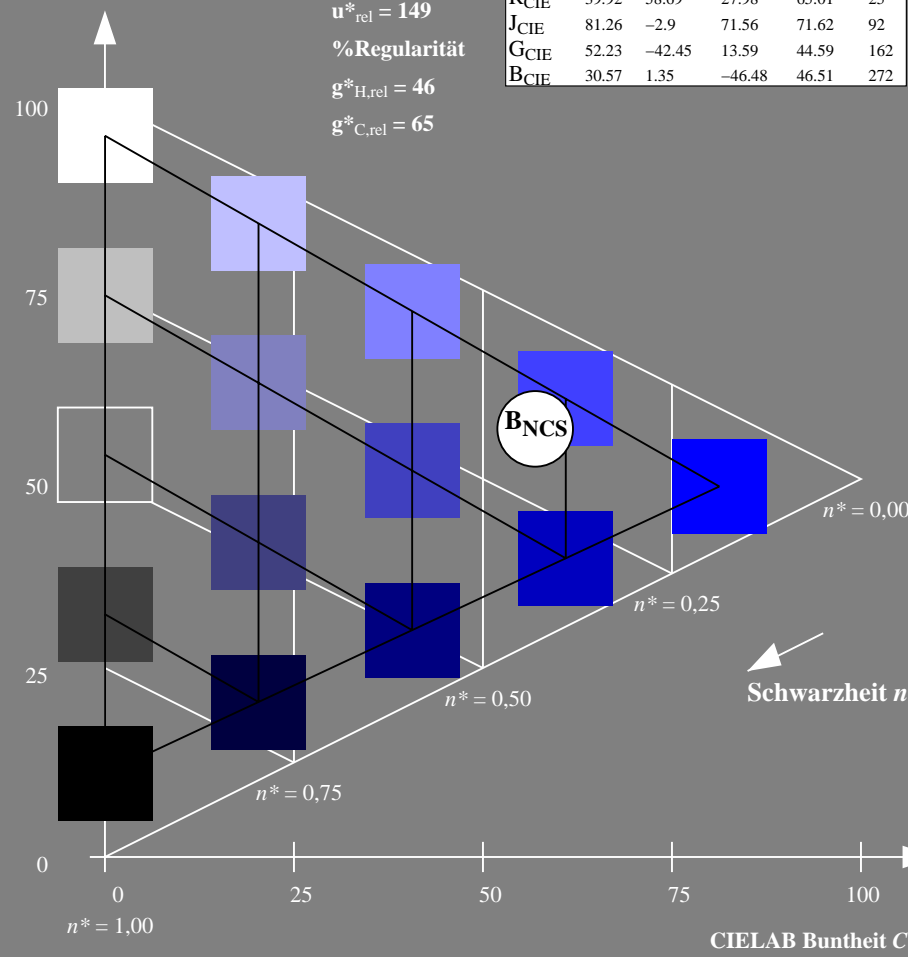
	$L^*=L_a^*$	a_a^*	b_a^*	$C_{ab,a}^*$	$h_{ab,a}^*$
R _{Ma}	47.15	84.64	37.25	92.48	24
J _{Ma}	91.37	-1.27	125.03	125.03	91
G _{Ma}	63.07	-114.28	25.35	117.06	167
G50B _{Ma}	59.47	-80.6	-33.45	87.28	203
B _{Ma}	49.01	3.65	-81.19	81.28	273
B50R _{Ma}	44.06	106.09	-73.93	129.32	325
N _{Ma}	10.99	0.0	0.0	0.0	0
W _{Ma}	95.41	0.0	0.0	0.0	0
R _{CIE}	39.92	58.69	27.98	65.01	25
J _{CIE}	81.26	-2.9	71.56	71.62	92
G _{CIE}	52.23	-42.45	13.59	44.59	162
B _{CIE}	30.57	1.35	-46.48	46.51	272

CIELAB-Helligkeit L^*

%Umfang

 $u_{rel}^* = 149$

%Regularität

 $g_{H,rel}^* = 46$ $g_{C,rel}^* = 65$ TG390-7, 5 stufige Reihen für konstanten CIELAB Buntton $273/360 = 0.757$ (links)

BAM-Prüfvorlage TG39; Farbmimetrische Systeme ORS18 & ORS18 input: olv* setrgbcolor

D65: Koordinaten-Systeme von 5stufigen Farbreihen für 10 Bunttoninput: Startup (S) data dependend

Ausgabe: Farbmimetrisches Reflexions-System NCS11

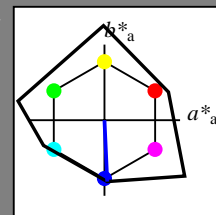
für Buntton $h^* = lab \cdot h = 273/360 = 0.757$

LAB*LCH, LAB*NCH

D65: Buntton B

LCH*Ma: 49 81 273

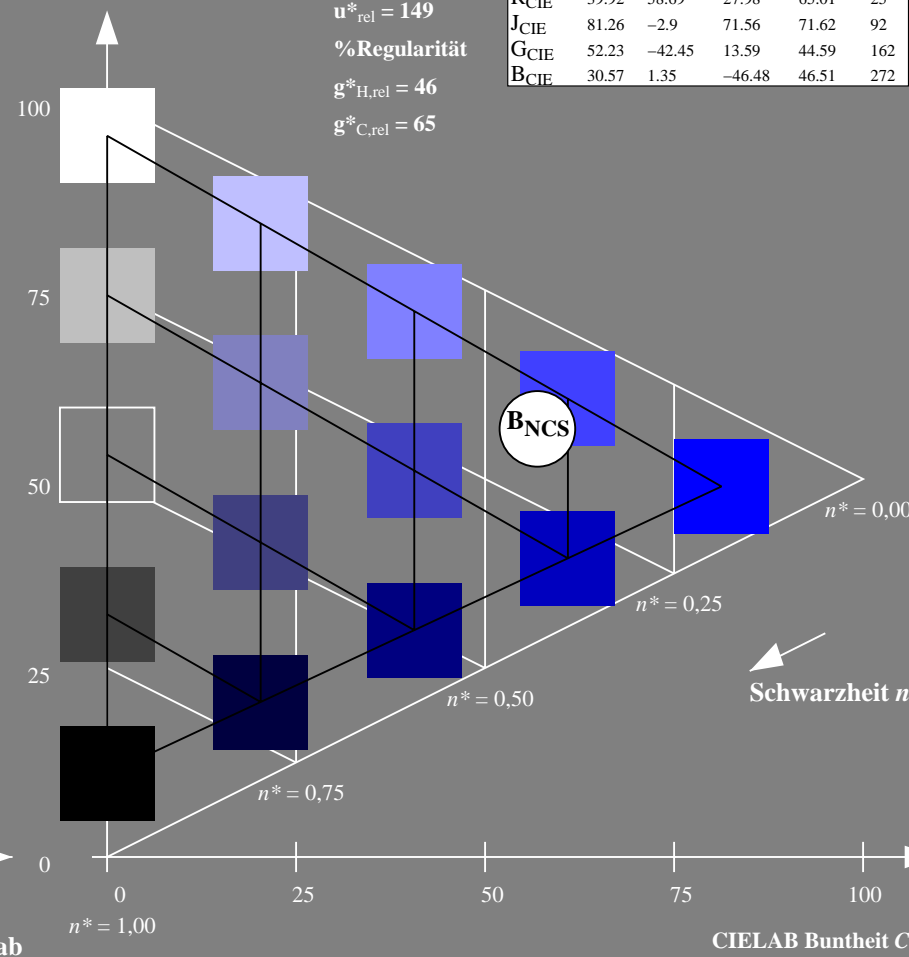
olv*Ma: 0.0 0.0 1.0

CIELAB-Helligkeit L^*

%Umfang

 $u_{rel}^* = 149$

%Regularität

 $g_{H,rel}^* = 46$ $g_{C,rel}^* = 65$ 5 stufige Reihen für konstanten CIELAB Buntton $273/360 = 0.757$ (rechts)

Eingabe: Farbmimetrisches Reflexions-System NCS11

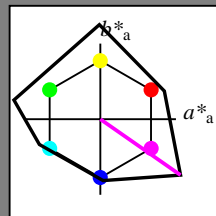
für Buntton $h^* = lab \cdot h = 325/360 = 0.903$

LAB*LCH, LAB*NCH

D65: Buntton B50R

LCH*Ma: 44 129 325

olv*Ma: 1.0 0.0 1.0



NCS11; adaptierte CIELAB-Daten

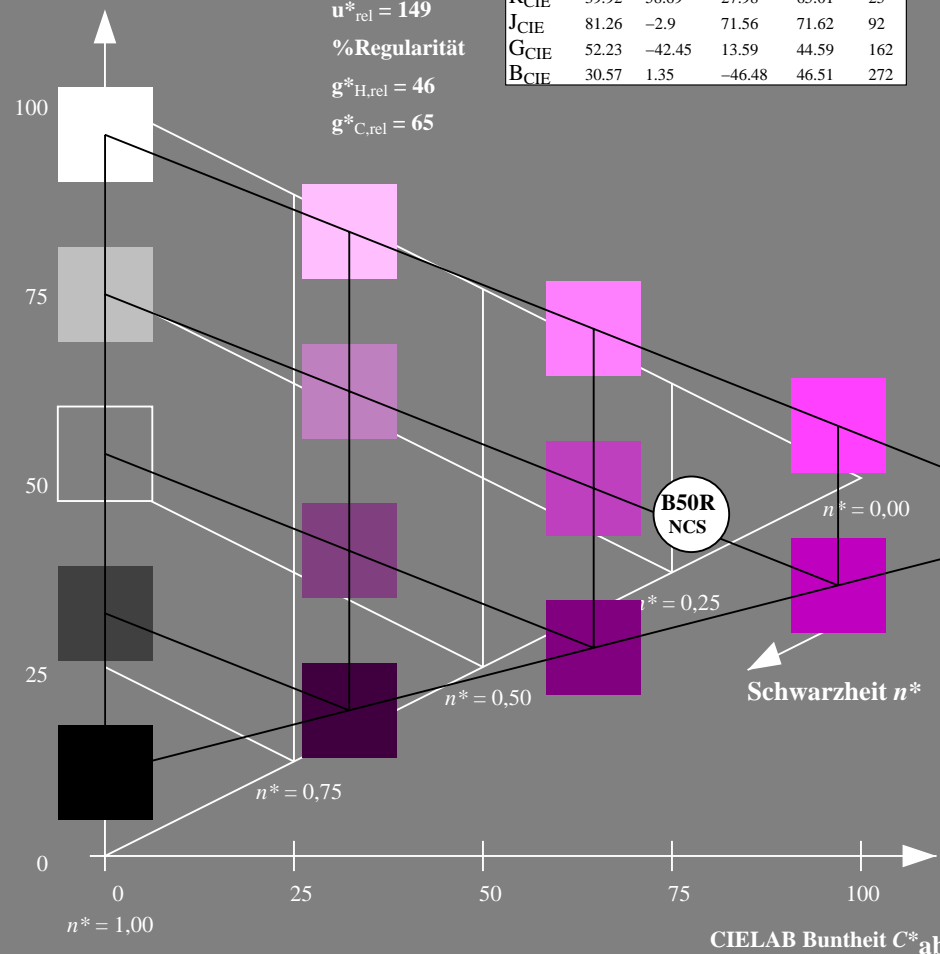
	$L^*=L^*_a$	a^*_a	b^*_a	$C^*_{ab,a}$	$h^*_{ab,a}$
R _{Ma}	47.15	84.64	37.25	92.48	24
J _{Ma}	91.37	-1.27	125.03	125.03	91
G _{Ma}	63.07	-114.28	25.35	117.06	167
G50B _{Ma}	59.47	-80.6	-33.45	87.28	203
B _{Ma}	49.01	3.65	-81.19	81.28	273
B50R _{Ma}	44.06	106.09	-73.93	129.32	325
N _{Ma}	10.99	0.0	0.0	0.0	0
W _{Ma}	95.41	0.0	0.0	0.0	0
R _{CIE}	39.92	58.69	27.98	65.01	25
J _{CIE}	81.26	-2.9	71.56	71.62	92
G _{CIE}	52.23	-42.45	13.59	44.59	162
B _{CIE}	30.57	1.35	-46.48	46.51	272

CIELAB-Helligkeit L^*

%Umfang

 $u^*_{rel} = 149$

%Regularität

 $g^*_{H,rel} = 46$ $g^*_{C,rel} = 65$ 

TG390-7, 5 stufige Reihen für konstanten CIELAB Buntton 325/360 = 0.903 (links)

Ausgabe: Farbmimetrisches Reflexions-System NCS11

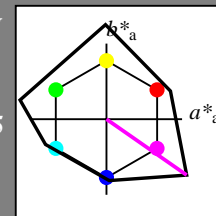
für Buntton $h^* = lab \cdot h = 325/360 = 0.903$

LAB*LCH, LAB*NCH

D65: Buntton B50R

LCH*Ma: 44 129 325

olv*Ma: 1.0 0.0 1.0



NCS11; adaptierte CIELAB-Daten

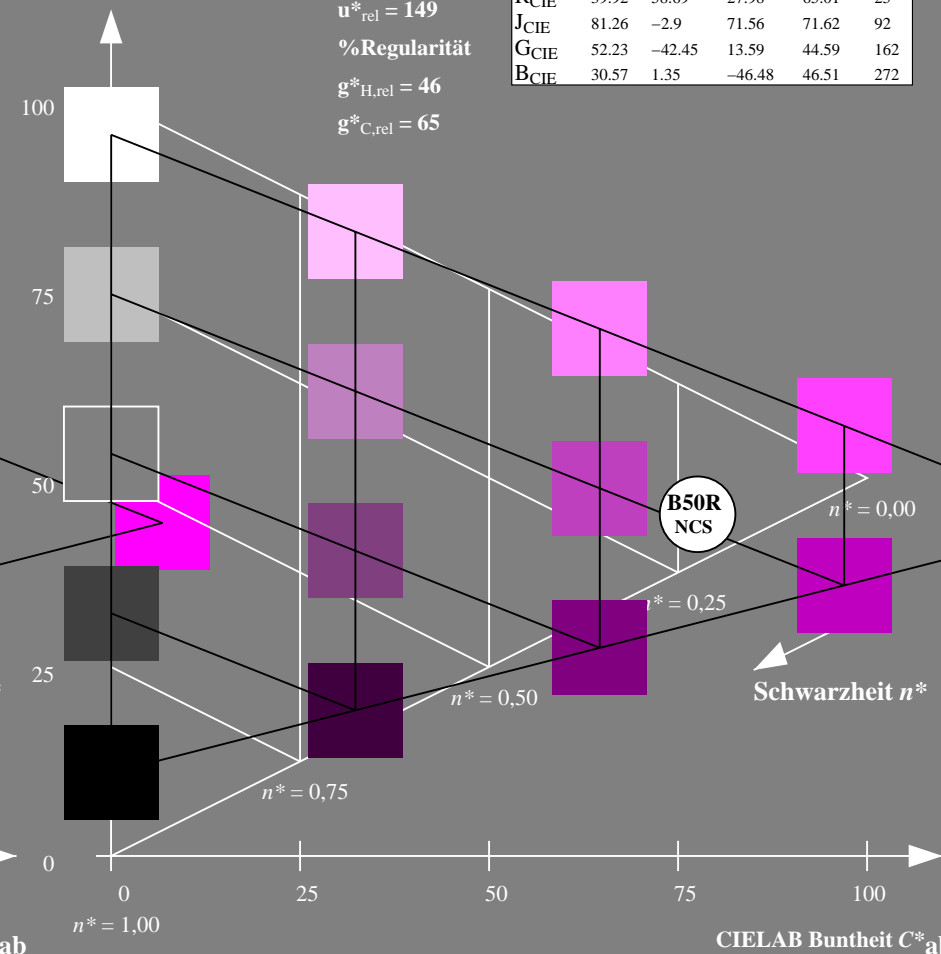
	$L^*=L^*_a$	a^*_a	b^*_a	$C^*_{ab,a}$	$h^*_{ab,a}$
R _{Ma}	47.15	84.64	37.25	92.48	24
J _{Ma}	91.37	-1.27	125.03	125.03	91
G _{Ma}	63.07	-114.28	25.35	117.06	167
G50B _{Ma}	59.47	-80.6	-33.45	87.28	203
B _{Ma}	49.01	3.65	-81.19	81.28	273
B50R _{Ma}	44.06	106.09	-73.93	129.32	325
N _{Ma}	10.99	0.0	0.0	0.0	0
W _{Ma}	95.41	0.0	0.0	0.0	0
R _{CIE}	39.92	58.69	27.98	65.01	25
J _{CIE}	81.26	-2.9	71.56	71.62	92
G _{CIE}	52.23	-42.45	13.59	44.59	162
B _{CIE}	30.57	1.35	-46.48	46.51	272

CIELAB-Helligkeit L^*

%Umfang

 $u^*_{rel} = 149$

%Regularität

 $g^*_{H,rel} = 46$ $g^*_{C,rel} = 65$ 

5 stufige Reihen für konstanten CIELAB Buntton 325/360 = 0.903 (rechts)

BAM-Prüfvorlage TG39; Farbmimetrik-Systeme ORS18 & ORS18 input: olv* setrgbcolor

D65: Koordinaten-Systeme von 5stufigen Farbreihen für 10 Buntton input: Startup (S) data dependend

Eingabe: Farbmétrisches Reflexions-System NCS11

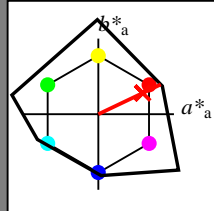
für Buntton $h^* = lab \cdot h = 25/360 = 0.071$

LAB*LCH, LAB*NCH

D65: Buntton R

LCH*Ma: 48 91 25

olv*Ma: 1.0 0.02 0.0



NCS11; adaptierte CIELAB-Daten

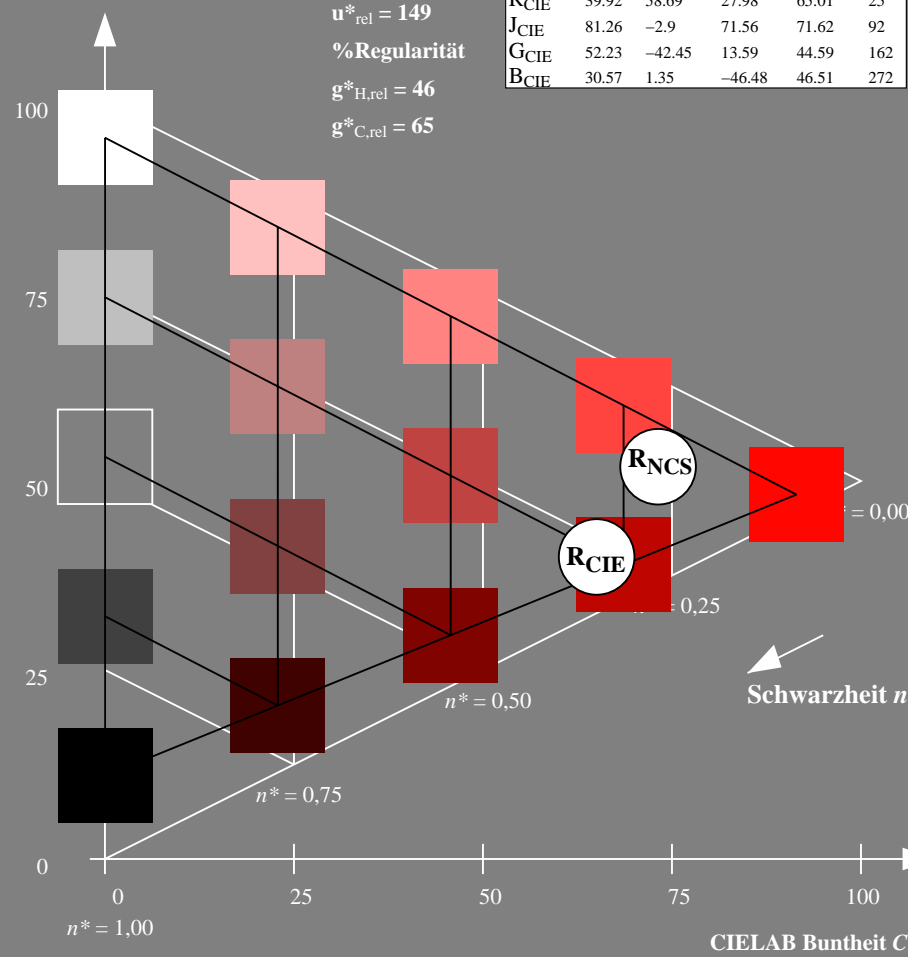
	$L^*=L^*_a$	a^*_a	b^*_a	$C^*_{ab,a}$	$h^*_{ab,a}$
R _{Ma}	47.15	84.64	37.25	92.48	24
J _{Ma}	91.37	-1.27	125.03	125.03	91
G _{Ma}	63.07	-114.28	25.35	117.06	167
G50B _{Ma}	59.47	-80.6	-33.45	87.28	203
B _{Ma}	49.01	3.65	-81.19	81.28	273
B50R _{Ma}	44.06	106.09	-73.93	129.32	325
N _{Ma}	10.99	0.0	0.0	0.0	0
W _{Ma}	95.41	0.0	0.0	0.0	0
R _{CIE}	39.92	58.69	27.98	65.01	25
J _{CIE}	81.26	-2.9	71.56	71.62	92
G _{CIE}	52.23	-42.45	13.59	44.59	162
B _{CIE}	30.57	1.35	-46.48	46.51	272

CIELAB-Helligkeit L^*

%Umfang

 $u^*_{rel} = 149$

%Regularität

 $g^*_{H,rel} = 46$ $g^*_{C,rel} = 65$ 

TG390-7, 5 stufige Reihen für konstanten CIELAB Buntton 25/360 = 0.071 (links)

Ausgabe: Farbmétrisches Reflexions-System NCS11

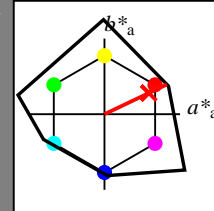
für Buntton $h^* = lab \cdot h = 25/360 = 0.071$

LAB*LCH, LAB*NCH

D65: Buntton R

LCH*Ma: 48 91 25

olv*Ma: 1.0 0.02 0.0



NCS11; adaptierte CIELAB-Daten

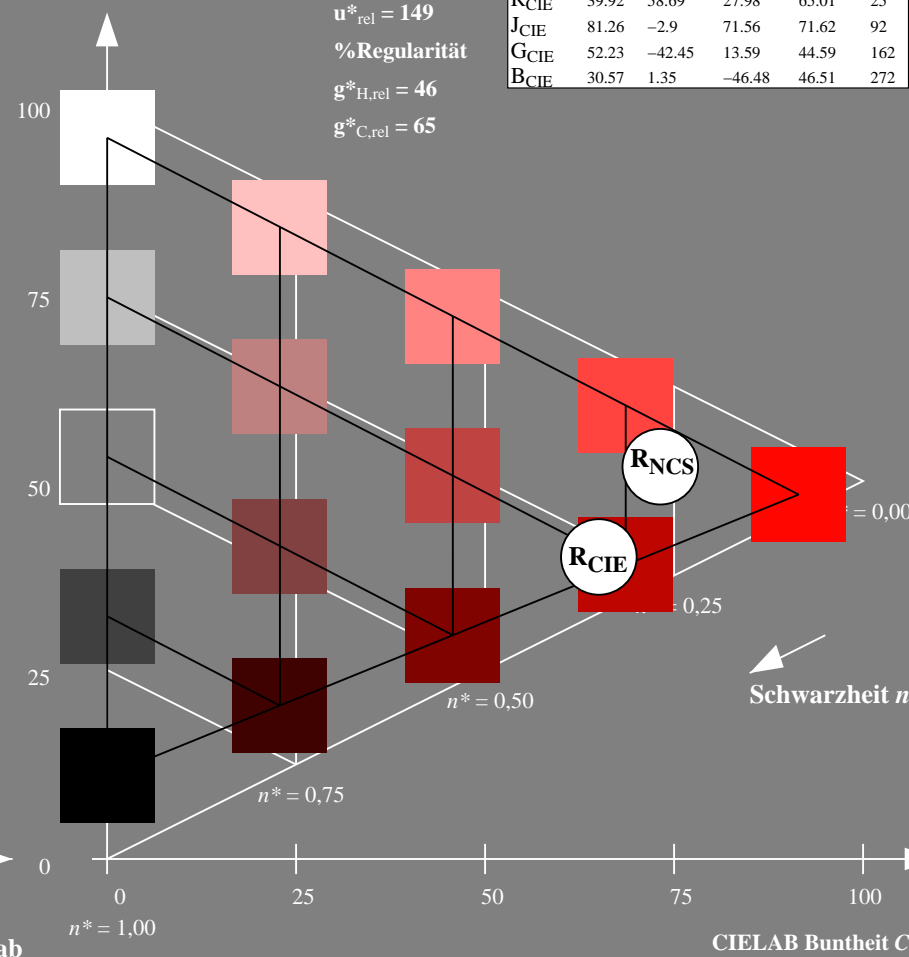
	$L^*=L^*_a$	a^*_a	b^*_a	$C^*_{ab,a}$	$h^*_{ab,a}$
R _{Ma}	47.15	84.64	37.25	92.48	24
J _{Ma}	91.37	-1.27	125.03	125.03	91
G _{Ma}	63.07	-114.28	25.35	117.06	167
G50B _{Ma}	59.47	-80.6	-33.45	87.28	203
B _{Ma}	49.01	3.65	-81.19	81.28	273
B50R _{Ma}	44.06	106.09	-73.93	129.32	325
N _{Ma}	10.99	0.0	0.0	0.0	0
W _{Ma}	95.41	0.0	0.0	0.0	0
R _{CIE}	39.92	58.69	27.98	65.01	25
J _{CIE}	81.26	-2.9	71.56	71.62	92
G _{CIE}	52.23	-42.45	13.59	44.59	162
B _{CIE}	30.57	1.35	-46.48	46.51	272

CIELAB-Helligkeit L^*

%Umfang

 $u^*_{rel} = 149$

%Regularität

 $g^*_{H,rel} = 46$ $g^*_{C,rel} = 65$ 

5 stufige Reihen für konstanten CIELAB Buntton 25/360 = 0.071 (rechts)

BAM-Prüfvorlage TG39; Farbmétrik-Systeme ORS18 & ORS18 input: olv* setrgbcolor

D65: Koordinaten-Systeme von 5stufigen Farbreihen für 10 Buntton input: Startup (S) data dependend

Eingabe: Farbmétrisches Reflexions-System NCS11

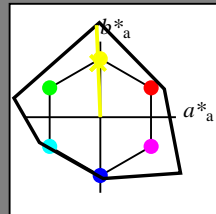
für Buntton $h^* = lab \cdot h = 92/360 = 0.256$

LAB*LCH, LAB*NCH

D65: Buntton J

LCH*Ma: 90 122 92

olv*Ma: 0.97 1.0 0.0



NCS11; adaptierte CIELAB-Daten

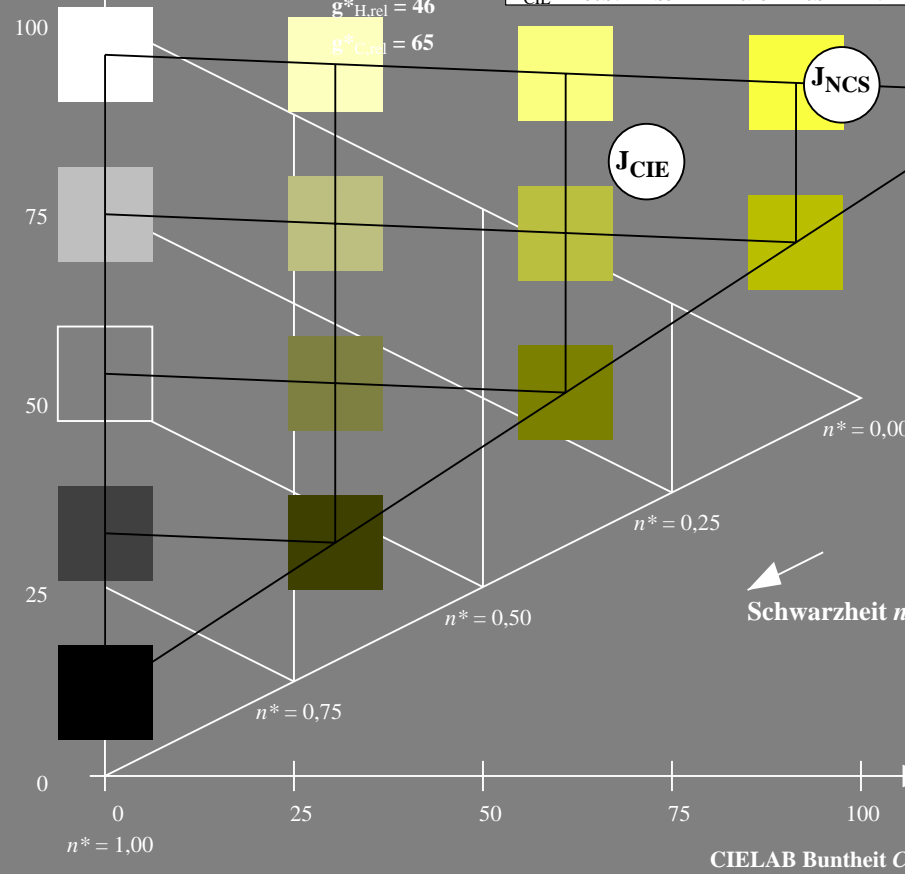
	$L^* = L^*_a$	a^*_a	b^*_a	$C^*_{ab,a}$	$h^*_{ab,a}$
R _{Ma}	47.15	84.64	37.25	92.48	24
J _{Ma}	91.37	-1.27	125.03	125.03	91
G _{Ma}	63.07	-114.28	25.35	117.06	167
G50B _{Ma}	59.47	-80.6	-33.45	87.28	203
B _{Ma}	49.01	3.65	-81.19	81.28	273
B50R _{Ma}	44.06	106.09	-73.93	129.32	325
N _{Ma}	10.99	0.0	0.0	0.0	0
W _{Ma}	95.41	0.0	0.0	0.0	0
R _{CIE}	39.92	58.69	27.98	65.01	25
J _{CIE}	81.26	-2.9	71.56	71.62	92
G _{CIE}	52.23	-42.45	13.59	44.59	162
B _{CIE}	30.57	1.35	-46.48	46.51	272

CIELAB-Helligkeit L^*

%Umfang

 $u^*_{rel} = 149$

%Regularität

 $g^*_{H,rel} = 46$ $g^*_{C,rel} = 65$ TG390-7, 5 stufige Reihen für konstanten CIELAB Buntton $92/360 = 0.256$ (links)

BAM-Prüfvorlage TG39; Farbmétrik-Systeme ORS18 & ORS18 input: olv* setrgbcolor

D65: Koordinaten-Systeme von 5stufigen Farbreihen für 10 Bunttoninput: Startup (S) data dependend

Ausgabe: Farbmétrisches Reflexions-System NCS11

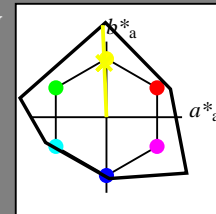
für Buntton $h^* = lab \cdot h = 92/360 = 0.256$

LAB*LCH, LAB*NCH

D65: Buntton J

LCH*Ma: 90 122 92

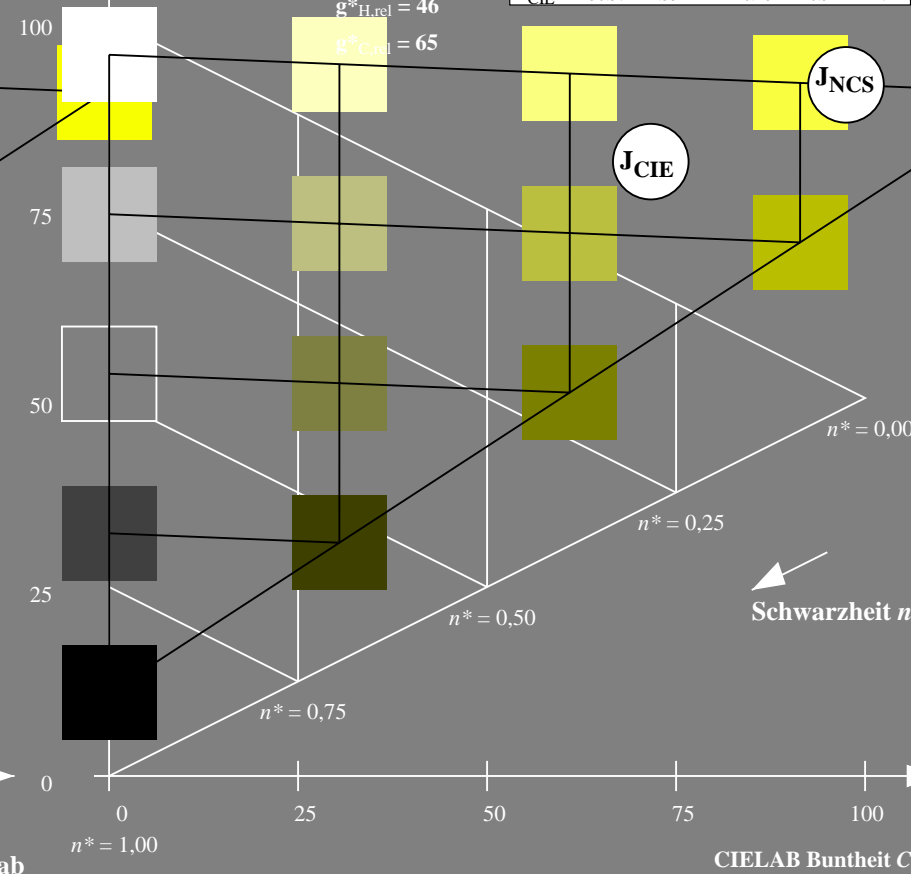
olv*Ma: 0.97 1.0 0.0

CIELAB-Helligkeit L^*

%Umfang

 $u^*_{rel} = 149$

%Regularität

 $g^*_{H,rel} = 46$ $g^*_{C,rel} = 65$ 5 stufige Reihen für konstanten CIELAB Buntton $92/360 = 0.256$ (rechts)

Eingabe: Farbmimetrisches Reflexions-System NCS11

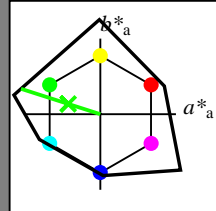
für Buntton $h^* = lab \cdot h = 162/360 = 0.451$

LAB*LCH, LAB*NCH

D65: Buntton G

LCH*Ma: 65 110 162

olv*Ma: 0.08 1.0 0.0



NCS11; adaptierte CIELAB-Daten

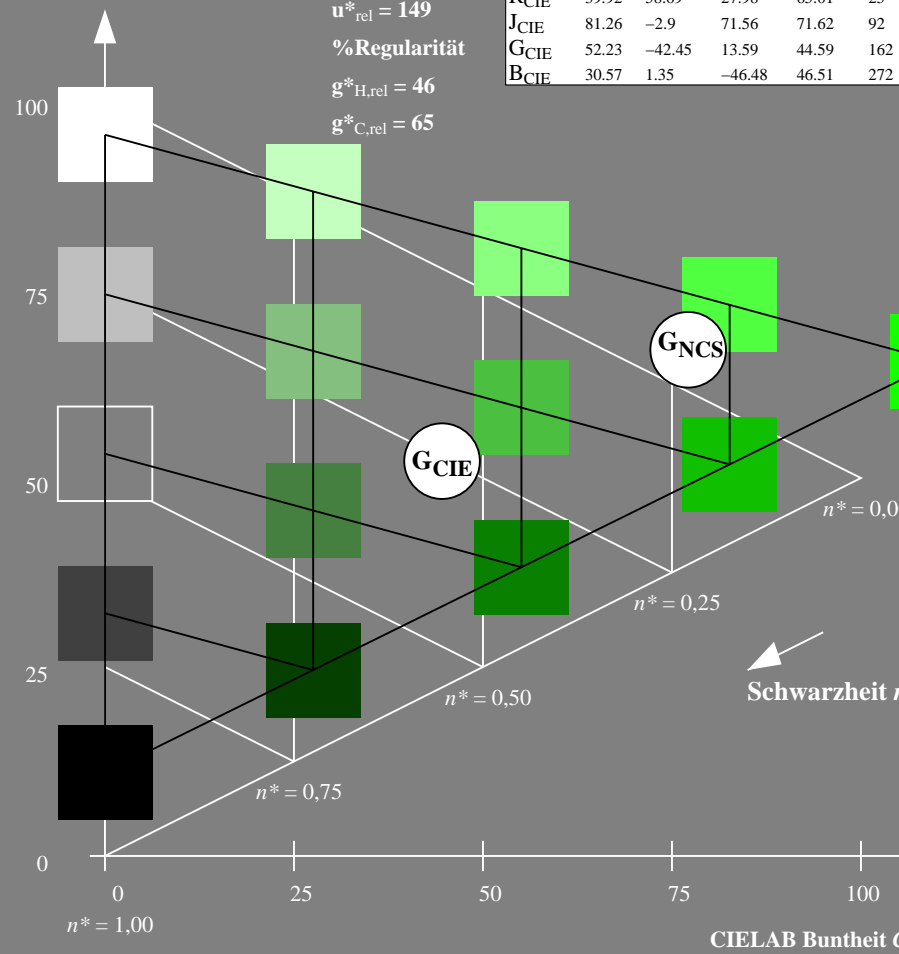
	$L^*=L^*_a$	a^*_a	b^*_a	$C^*_{ab,a}$	$h^*_{ab,a}$
R _{Ma}	47.15	84.64	37.25	92.48	24
J _{Ma}	91.37	-1.27	125.03	125.03	91
G _{Ma}	63.07	-114.28	25.35	117.06	167
G50B _{Ma}	59.47	-80.6	-33.45	87.28	203
B _{Ma}	49.01	3.65	-81.19	81.28	273
B50R _{Ma}	44.06	106.09	-73.93	129.32	325
N _{Ma}	10.99	0.0	0.0	0.0	0
W _{Ma}	95.41	0.0	0.0	0.0	0
R _{CIE}	39.92	58.69	27.98	65.01	25
J _{CIE}	81.26	-2.9	71.56	71.62	92
G _{CIE}	52.23	-42.45	13.59	44.59	162
B _{CIE}	30.57	1.35	-46.48	46.51	272

CIELAB-Helligkeit L^*

%Umfang

 $u^*_{rel} = 149$

%Regularität

 $g^*_{H,rel} = 46$ $g^*_{C,rel} = 65$ 

TG390-7, 5 stufige Reihen für konstanten CIELAB Buntton 162/360 = 0.451 (links)

BAM-Prüfvorlage TG39; Farbmimetrische Systeme ORS18 & ORS18 input: olv* setrgbcolor

D65: Koordinaten-Systeme von 5stufigen Farbreihen für 10 Bunttoninput: Startup (S) data dependend

Ausgabe: Farbmimetrisches Reflexions-System NCS11

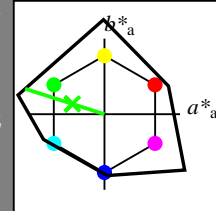
für Buntton $h^* = lab \cdot h = 162/360 = 0.451$

LAB*LCH, LAB*NCH

D65: Buntton G

LCH*Ma: 65 110 162

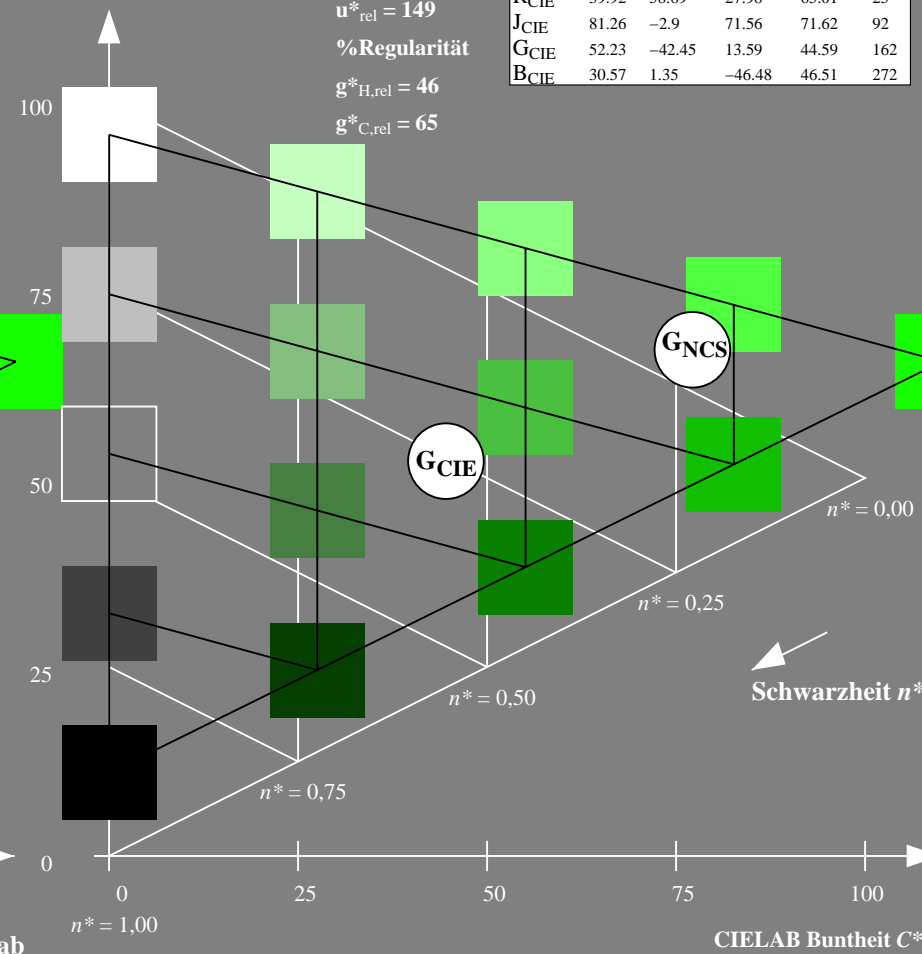
olv*Ma: 0.08 1.0 0.0

CIELAB-Helligkeit L^*

%Umfang

 $u^*_{rel} = 149$

%Regularität

 $g^*_{H,rel} = 46$ $g^*_{C,rel} = 65$ 

5 stufige Reihen für konstanten CIELAB Buntton 162/360 = 0.451 (rechts)

Eingabe: Farbmimetrisches Reflexions-System NCS11

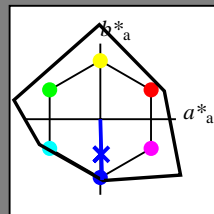
für Buntton $h^* = lab \cdot h = 272/360 = 0.755$

LAB*LCH, LAB*NCH

D65: Buntton B

LCH*Ma: 49 80 272

olv*Ma: 0.0 0.02 1.0



NCS11; adaptierte CIELAB-Daten

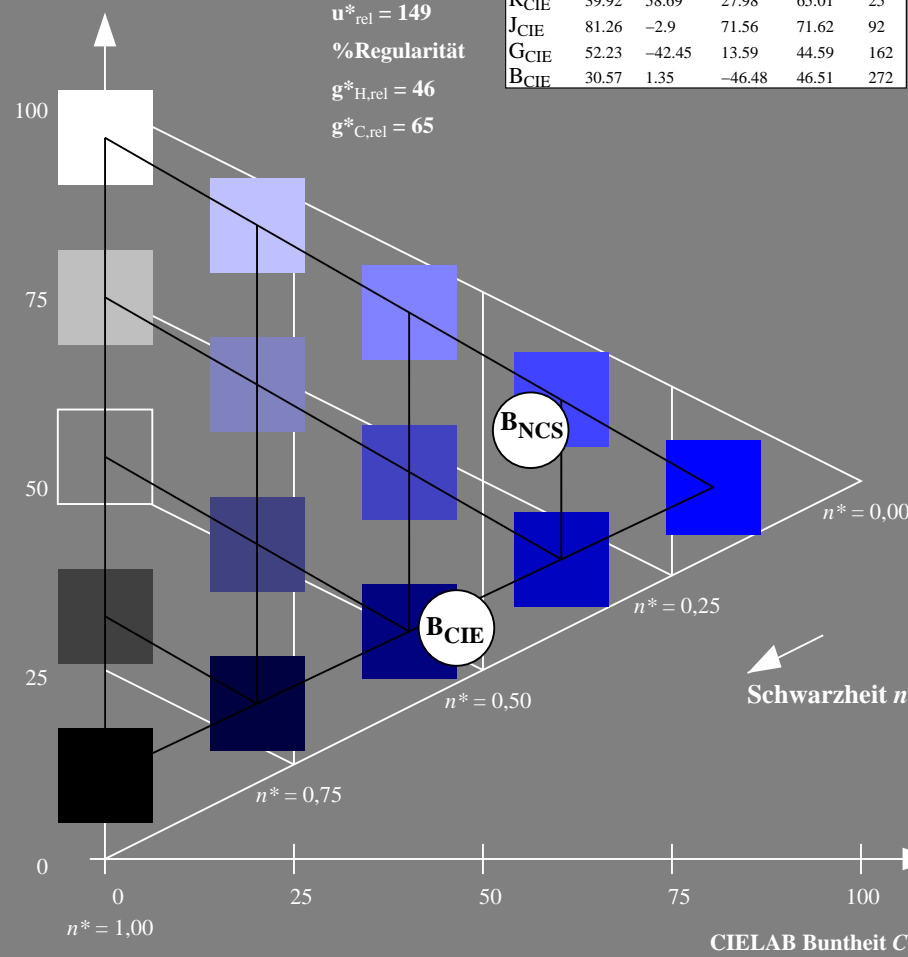
	$L^*=L_a^*$	a_a^*	b_a^*	$C_{ab,a}^*$	$h_{ab,a}^*$
R _{Ma}	47.15	84.64	37.25	92.48	24
J _{Ma}	91.37	-1.27	125.03	125.03	91
G _{Ma}	63.07	-114.28	25.35	117.06	167
G50B _{Ma}	59.47	-80.6	-33.45	87.28	203
B _{Ma}	49.01	3.65	-81.19	81.28	273
B50R _{Ma}	44.06	106.09	-73.93	129.32	325
N _{Ma}	10.99	0.0	0.0	0.0	0
W _{Ma}	95.41	0.0	0.0	0.0	0
R _{CIE}	39.92	58.69	27.98	65.01	25
J _{CIE}	81.26	-2.9	71.56	71.62	92
G _{CIE}	52.23	-42.45	13.59	44.59	162
B _{CIE}	30.57	1.35	-46.48	46.51	272

CIELAB-Helligkeit L^*

%Umfang

 $u_{rel}^* = 149$

%Regularität

 $g_{H,rel}^* = 46$ $g_{C,rel}^* = 65$ TG390-7, 5 stufige Reihen für konstanten CIELAB Buntton $272/360 = 0.755$ (links)

BAM-Prüfvorlage TG39; Farbmimetrische Systeme ORS18 & ORS18 input: olv* setrgbcolor

D65: Koordinaten-Systeme von 5stufigen Farbreihen für 10 Bunttoninput: Startup (S) data dependend

Ausgabe: Farbmimetrisches Reflexions-System NCS11

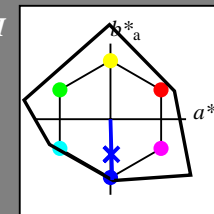
für Buntton $h^* = lab \cdot h = 272/360 = 0.755$

LAB*LCH, LAB*NCH

D65: Buntton B

LCH*Ma: 49 80 272

olv*Ma: 0.0 0.02 1.0



NCS11; adaptierte CIELAB-Daten

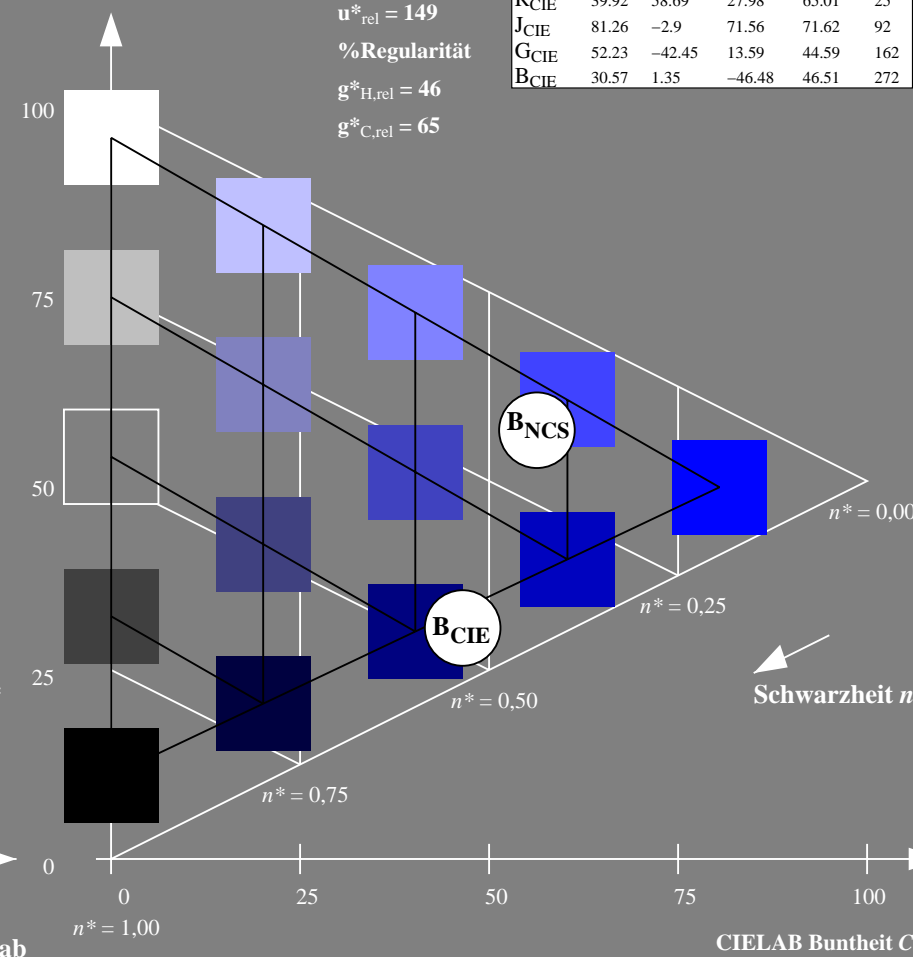
	$L^*=L_a^*$	a_a^*	b_a^*	$C_{ab,a}^*$	$h_{ab,a}^*$
R _{Ma}	47.15	84.64	37.25	92.48	24
J _{Ma}	91.37	-1.27	125.03	125.03	91
G _{Ma}	63.07	-114.28	25.35	117.06	167
G50B _{Ma}	59.47	-80.6	-33.45	87.28	203
B _{Ma}	49.01	3.65	-81.19	81.28	273
B50R _{Ma}	44.06	106.09	-73.93	129.32	325
N _{Ma}	10.99	0.0	0.0	0.0	0
W _{Ma}	95.41	0.0	0.0	0.0	0
R _{CIE}	39.92	58.69	27.98	65.01	25
J _{CIE}	81.26	-2.9	71.56	71.62	92
G _{CIE}	52.23	-42.45	13.59	44.59	162
B _{CIE}	30.57	1.35	-46.48	46.51	272

CIELAB-Helligkeit L^*

%Umfang

 $u_{rel}^* = 149$

%Regularität

 $g_{H,rel}^* = 46$ $g_{C,rel}^* = 65$ 5 stufige Reihen für konstanten CIELAB Buntton $272/360 = 0.755$ (rechts)